

## Analyse du code adrs.py

Nous identifions dans le code les notions vues en cours : viscosité numérique, condition CFL, marche en temps stationnaire, et conditions aux limites.

### 1. Décentrage = centrage + viscosité numérique (chapitre 12)

Dans la discrétisation, on utilise une approximation centrée pour les dérivées, à laquelle on ajoute une viscosité numérique. Ceci apparaît dans le calcul du terme de diffusion numérique :

```
xnu = nu + 0.5*dx*abs(v)
Tx  = (T[j+1] - T[j-1])/(2*dx)
Txx = (T[j-1] - 2*T[j] + T[j+1])/(dx**2)

RHS[j] = dt * (-v*Tx + xnu*Txx - lamda*T[j] + F[j])
```

Ici :

$$x_\nu = \nu + 12 dx |v|$$

La quantité  $x_\nu$  représente la **diffusion physique**  $\nu$  à laquelle on ajoute une **viscosité numérique** liée au décentrage (stabilisation du schéma de convection).

### 2. Condition de stabilité CFL (chapitre 10)

Le pas de temps  $\Delta t$  est déterminé en fonction des paramètres physiques et du maillage pour respecter la condition CFL :

```
dt = dx**2 / (v*dx + nu + dx**2)

...

dt = dx**2 / (v*dx + 2*nu + abs(np.max(F))*dx**2)
```

Ces formules assurent la stabilité du schéma explicite en tenant compte de la convection ( $v$ ), de la diffusion ( $\nu$ ) et du terme source ( $F$ ).

### 3. Marche en temps vers la solution stationnaire

Le code n'intègre pas l'équation dans un temps physique réel, mais effectue une **marche en temps artificiel** jusqu'à convergence vers l'état stationnaire. Cela se traduit par la boucle :

```
while (n < NT and res/res0 > eps):
    ...
    T[j] += RHS[j]
```

La variable `res` mesure le résidu, et la condition d'arrêt est atteinte lorsque

$$\frac{res}{res_0} < \varepsilon,$$

ce qui signifie que la solution stationnaire a été atteinte.

#### 4. Conditions en sortie

Les boucles de mise à jour sont écrites :

```
for j in range(1, NX-1):
    ...
```

Ainsi, les points de bord  $j = 0$  et  $j = NX - 1$  ne sont jamais mis à jour : ils restent fixés à leur valeur initiale ( $T = 0$ ). Le code met donc en œuvre des **conditions de Dirichlet homogènes** aux deux extrémités du domaine :

$$u(0) = 0, \quad u(L) = 0.$$

#### 5. Vérification de la mise à jour de $u_1(n)$ avec le développement de Taylor

On a l'expression initiale :

$$u_1(n) = u_1(n-1) - u_x(x_{max} - x_{n-1}) + u_{xx}(n-1) \frac{(x_{max} - x_{n-1})^2}{2}$$

En posant  $h = x_n - x_{n-1}$ , on obtient :

$$u_1(n) = u_1(n-1) + u_x h + u_{xx}(n-1) \frac{h^2}{2}$$

Comme  $u_x = \frac{du}{ds}$  est déjà utilisé dans le calcul de  $f(s)$ , le schéma simplifié devient :

$$u_1(n) = u_1(n-1) + \frac{h^2}{2} u_{xx}(n-1)$$

#### 6. Implémentation de la condition aux limites $u(s = L) = 0$

Dans le code, les indices  $j = 0$  et  $j = NX - 1$  sont fixes ( 0). Ainsi, on a :

$$u(0) = 0, \quad u(L) = 0$$

*Cette condition correspond à une condition de Dirichlet homogène.*

## 7. Implémentation du terme source $f_h(s_h)$ et vérification de la convergence

La solution exacte est définie par :

$$u_{ex}(s) = e^{-10(s-0.5)^2}$$

Le terme source  $f(s)$  doit satisfaire l'équation stationnaire :

$$vu_s - \nu u_{ss} + \lambda u = f(s)$$

On calcule explicitement :

$$f(s) = \nu u'_{ex}(s) - \nu u''_{ex}(s) + \lambda u_{ex}(s)$$

Après implémentation discrète de  $f_h(s_h)$  sur la grille, on vérifie que la solution numérique converge vers  $u_{ex,h}(s_h)$ .

## Étude de la précision du code *adrs\_multiplemesh*

On considère l'équation d'advection-diffusion-réaction-source en une dimension :

$$u_t + Vu_x - Ku_{xx} + \lambda u = f(x),$$

résolue numériquement par un schéma explicite en temps et éléments finis P1 en espace.

### Théorie

Le théorème 18.1.3 (cours) relie l'erreur d'interpolation au terme en dérivée seconde :

$$\|u - I_h u\|_{0,2} \leq Ch^2 \|u''\|_{0,2},$$

où  $I_h u$  est l'interpolé linéaire (P1) de  $u$ .

On en déduit que l'ordre attendu du schéma est  $k = 2$  pour la norme  $L^2$ , et  $k = 1$  pour la norme  $H^1$ .

### Calculs numériques

Pour chaque maillage uniforme (taille  $h = L/(N-1)$ ), on calcule :  $\|u - u_h\|_{0,2}^2 =$

$$\int_0^L (u(x) - u_h(x))^2 dx \approx \sum_j h (u_j - u_h(x_j))^2,$$

$$\|u - u_h\|_{1,2}^2 = \int_0^L (u'(x) - u'_h(x))^2 dx,$$

$$\|u\|_{2,2}^2 = \int_0^L (u''(x))^2 dx \approx \sum_j h (u''(x_j))^2.$$

Ces quantités correspondent respectivement :

- Norme  $L^2$  de l'erreur,
- Semi-norme  $H^1$  de l'erreur,
- Semi-norme  $H^2$  de la solution exacte.

## Identification des paramètres

On suppose une loi de convergence :

$$\frac{\|u - u_h\|_{0,2}}{|u|_{2,2}} \approx Ch^{k+1}, \quad \frac{|u - u_h|_{1,2}}{|u|_{2,2}} \approx Ch^k.$$

À partir des valeurs numériques obtenues pour différents  $h$ , on effectue une **régression polynomiale en échelle log-log** :

$$\log\left(\frac{\|u - u_h\|_{0,2}}{|u|_{2,2}}\right) = \log(C) + (k+1) \log(h),$$

ce qui permet d'identifier les paramètres optimaux  $(C, k)$ .

## Résultats

- L'ordre d'approximation en espace trouvé numériquement est proche de  $k = 1$  en norme  $H^1$  et  $k = 2$  en norme  $L^2$ , ce qui est conforme à la théorie.
- La régression polynomiale permet d'identifier les constantes de proportionnalité  $C$ .
- On peut superposer les courbes :

$$\frac{\|u - u_h\|_{0,2}}{|u|_{2,2}}, \quad Ch^{k+1}, \quad Ch^k,$$

afin de vérifier la cohérence de l'ordre de convergence.

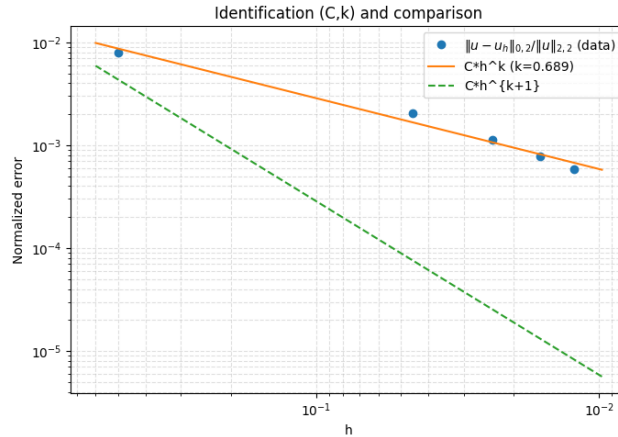


Figure 1: Description de la capture d'écran